

# سنگ‌شناسی و جایگاه زمین‌ساختی توده گرانودیوریتی لخشک، شمال باختر زاهدان، ایران

نوشه: علی کنانیان\*، مهدی رضائی کهخائی\*، داریوش اسماعیلی\*

\*دانشکده زمین‌شناسی، پردیس علوم، دانشگاه تهران، ایران

## Petrology and Tectonic Setting of Lakhshak Granodiorite, NW of Zahedan, Iran

By: A. Kananian\*, M. Rezaei-Kahkhaei\* & D. Esmaeili\*

\* Deptment of Geology, College of Science, University of Tehran, Iran

تاریخ دریافت: ۱۳۸۵/۰۳/۰۹

تاریخ پذیرش: ۱۳۸۵/۱۱/۱۸

### چکیده

توده گرانودیوریتی لخشک در ۱۰ کیلومتری شمال باختر زاهدان واقع شده و به صورت بیضوی شکل با امتداد شمال‌باختر-جنوب‌خاور در رسوبات فلیشی اثوسن نفوذ کرده است. این توده، پس از جایگزینی مورد هجوم تعداد زیادی دایک موازی با روند شمال‌خاور-جنوب‌باختر قرار گرفته است. دایکها حدود ۲۰-۳۰ درصد حجم توده را به خود اختصاص داده‌اند و دامنه ترکیبی گستره‌ای از گرانودیوریت تا مونزودیوریت دارند. سنگهای توده نفوذی لخشک از نوع کلسیمی-قلیابی و غالباً متاآلومین بوده و از لحاظ فراوانی  $\text{SiO}_2$ ،  $\text{P}_2\text{O}_5$  و  $\text{Th}$  در برابر  $\text{P}_2\text{O}_5$  و  $\text{Th}$  در محدوده مقادیر  $\text{TiO}_2$  گرانیتها حاشیه قاره قرار می‌گیرد. مقادیر  $\text{MgO}$ ،  $\text{Na}_2\text{O}$ ،  $\text{Ni}$ ،  $\text{Cr}$ ، عدد  $\text{Mg}/(\text{Mg} + \text{Al})$  و فقیر شدگی این سنگها از  $\text{Y}$  با مذابهای آدکیتی حاصل از ذوب بخشی پوسته اقیانوسی جوان شیوه است. مقدار پایین  $\text{Ba}/\text{La}$  سنگهای مورد مطالعه بیانگر ذوب بخشی پوسته اقیانوسی فرورو قبل از بی‌آب شدن آن است.

این سنگها از عناصر LIL و LREE غنی شدگی نشان می‌دهند در حالی که از عناصر HREE و Y تهی شده‌اند و دارای بی‌هنجری منفی  $\text{Ti}$ ،  $\text{P}$ ،  $\text{Nb}$ ،  $\text{Ta}$  و  $\text{Pb}$  می‌باشند. بی‌هنجری منفی  $\text{Nb}$  و  $\text{Ta}$  بیانگر نقش پوسته اقیانوسی در متاسوماتیسم گوه گشته است. بی‌هنجری مثبت  $\text{Pb}$  به آلایش مگما با پوسته قاره‌ای و متاسوماتیسم گوه گشته‌ای اشاره دارد.

به نظر می‌رسد که تشکیل توده گرانودیوریتی لخشک می‌تواند با فروزانش پوسته اقیانوسی جوان سیستان به زیر بلوک افغان در ارتباط باشد. همچنین مقادیر پایین  $\text{HREE}$ ،  $\text{Yb} < 1/2$ ،  $\text{Y} < 1/13$ ، وجود میانبارهای آمفیولیتی و کاهش مقدار  $\text{SiO}_2$  در این سنگها، با ذوب بخشی آمفیولیتها حاصل از فروزانش سنگ کرده اقیانوسی به ژرفاهای بیش از ۳۵ کیلومتر سازگار است.

**کلیدواژه‌ها:** سنگ‌شناسی، ژئوشیمی، فروزانش، گرانودیوریت، گروه دایک، زاهدان، ایران.

### Abstract

The Lakhshak granitoid pluton which is located at 10 km northwest of Zahedan, has intruded into the Eocene flysch sediments with an elliptical shape and NW-SE direction. This pluton after emplacement has been cut by numerous dykes with NE-SW trend. These dykes comprised about 20-30% of the Pluton with various compositions, ranging from granodiorite to monzodiorite in composition.

The Lakhshak plutonic rocks are mainly metaluminous, calc-alkaline and belong to I type granites based on the  $\text{P}_2\text{O}_5$  and  $\text{Th}$

content versus SiO<sub>2</sub>. Regarding TiO<sub>2</sub> content these rocks resemble the continental margin granites. The MgO, Na<sub>2</sub>O, Ni, Cr content as well as Mg# and depletion in Y, these plutonic rocks are similar to the adakite, a rock type produced by partial melting of young oceanic crust. The low Ba/La content of the studied samples may suggest that subducted slab suffered dehydration prior to partial melting.

These rocks are enriched in LIL, LREE, however, they are depleted in HREE and Y. In addition, they show negative anomalies of Nb, Ta, P and Ti, and positive anomaly of Pb. The negative anomalies of Nb and Ta may indicate the effect of mantle wedge metasomatism by oceanic crust. The positive anomaly of Pb may demonstrate continental crust assimilation by magma associated with mantle metasomatism.

It seems that Lakshak pluton has been formed by subduction of Sistan young oceanic crust under the Afghan Block. Moreover, the low content of HREE and Y besides a decreased ratio of Yb versus SiO<sub>2</sub>, Yb<15.13, Yb<1.2 and existence of amphibolite enxenoliths in these rocks may suggest partial melting of amphibolites. The latter is formed during the oceanic crust subduction in depth more than 35 km.

**Key words:** Petrology, Geochemistry, Subduction, Granodiorite, Dyke swarm, Zahedan, Iran.

## ۱- مقدمه

شکل در رسوبات فلیشی ائوسن نفوذ کرده است (شکل ۱). این توده در نقشه ۱:۲۵۰۰۰۰ چهار گوش زاهدان (Behruzi, 1993) با اسمی گرانیت، پلاژیو گرانیت و تونالیت معرفی شده است. یکی از نکات قابل توجه در این توده گرانودیوریتی، وجود تعداد زیادی دایک (Dyke swarm) موازی با روند شمال خاور-جنوب باختراست که حدود ۲۰ الی ۳۰ درصد حجم توده را به خود اختصاص داده اند. این دایکها در راهنمای نقشه ۱:۲۵۰۰۰۰ چهار گوش زاهدان از نوع اسیدی تا حد واسط معرفی شده اند. به منظور بررسی ویژگیهای سنگ‌شناسی و تعیین جایگاه زمین‌ساختی توده گرانودیوریتی لخشک و دایکهای آن پس از مطالعه روابط صحرایی، در مجموع بیش از ۲۰۰ نمونه سنگی از قسمتهای مختلف این توده و سنگ‌های میزبان آن برداشت شد و پس از مطالعات سنگ‌نگاری دقیق، از بین سالم ترین نمونه‌های برداشت شده، تعداد ۱۰ نمونه برای تجزیه شیمی سنگ کل به آزمایشگاه ALS Chemex در کانادا ارسال شد که نتایج تجزیه ژئوشیمی و سنگ‌نگاری این سنگها در مقاله حاضر ارائه شده است.

## ۲- جایگاه زمین‌ساختی و زمین‌ساختی

توده گرانودیوریتی لخشک و سنگ‌های در برگیرنده آن بخشی از زون فلیشی خاور ایران است (Stocklin, 1968) که به زون جوش خورده سیستان (Tirrul et al., 1983) (Suture zone Sistan) هم معروف است. زون فلیشی خاور ایران در بخش خاوری زون لوت-بزمان واقع شده که از جنوب به زون مکران محدود می‌شود و به سمت شمال تا گناباد ادامه دارد. این زون حدود ۸۰۰ کیلومتر طول و ۲۰۰ کیلومتر عرض دارد و دارای

نوار گرانیتوییدی زاهدان-سرavan در جنوب خاور ایران، ۲۵۰ کیلومتر طول و ۲۵ کیلومتر عرض دارد و از روند کلی شمال باخترا-جنوب خاور پیروی می‌کند. این گرانیتوییدها در زمان الیکومیوسن در رسوبات فلیشی ائوسن واقع در سمت خاوری افیولیت ملاتزهای خاور ایران نفوذ کرده اند (شکل ۱). محققان قبلی گرانیتوییدهای زاهدان را بر اساس تجزیه‌های مдал، نورماتیو و ژئوشیمیابی به دو رده کلی شامل: (۱) بیوتیت گرانیت، پگماتیت، رگه‌های کوارتزی و (۲) دیبوریتها، گرانودیوریتها و پگماتیتها تقسیم کرده اند (Sadeghian, 2005; Behruzei, 1993) در بعضی مناطق، توده‌هایی از سنگ‌های گرانودیوریتی در بیوتیت-گرانیتها تزریق شده است (شکل ۱) که این موضوع نشان می‌دهد گرانودیوریتها جوان‌تر از بیوتیت گرانیتها هستند (Sadeghian, 2005). در عین حال، هر دو گروه سنگی توسط تعداد زیادی دایک آندزیتی-داسیتی قطع شده اند. مطالعات انجام شده بر روی توده‌های گرانیتوییدی جنوب و جنوب باخترا زاهدان که در ۲۰ کیلومتری جنوب توده گرانودیوریتی لخشک واقع شده‌اند، نشان می‌دهند که این سنگها از نوع نیمه قلایی، کلسیمی - قلایی، متالومین تا اندکی پر آلمین بوده و به گرانیتوییدهای نوع I و H<sub>ss</sub> تعلق دارند (Sadeghian, 2005). توده‌های گرانیتوییدی جنوب و جنوب باخترا زاهدان از لحاظ سنگ‌شناسی در رده گرانیت و گرانودیوریت قرار می‌گیرند که گرانیتها به سری ایلمنیت و گرانودیوریتها به سری مگنتیت تعلق دارند (Sadeghian, 2005). گرانیتها زرگلی در ۱۰ کیلومتری باخترا توده گرانودیوریتی لخشک، کلسیمی - قلایی و از نوع هیرید است (کشتگر، ۱۳۸۳). توده گرانودیوریتی لخشک به صورت بیضوی

بلورهای پلاژیوکلاز، هورنبلند سبز، آلانیت، زیرکن و آپاتیت موجود در سنگهای توده گرانوودیوریتی لخشک شکل دار هستند. بلورهای فلدسپار پاتاسیم، کوارتز و بیوتیت نیمه شکل دار تا بی شکل هستند. بلورهای فلدسپار پاتاسیم بافت‌های پرتیتی شعله‌ای و رگه‌ای نشان می‌دهند و بلورهای پلاژیوکلاز ساخت منطقه‌ای دارند. سنگهای حاشیه توده، فاقد هورنبلند سبز بوده و بیوتیتها موجود در آنها خوردگی نشان می‌دهند. بخش‌های خوردگی شده این بیوتیتها به تجمع دانه ریز کوارتز، اکسید آهن (مگنتیت) و زیرکن تبدیل شده است (شکل ۴A). اما سنگهای موجود در بخش‌های داخلی تر توده، شامل حدود ۷ درصد هورنبلند سبز است و بیوتیتها آنها هیچ شواهدی از هضم شدن و خوردگی نشان نمی‌دهند.

سنگها توده گرانوودیوریتی لخشک دارای بافت دانه متوسط و حاوی میانبارهای آمفیولیتی است. در این توده، به ندرت میانبار سنگهای میزان و دگرگونی منطقه به چشم می‌خورد. علت این پدیده احتمالاً مربوط به جایگزینی توده در ژرفاهای بیشتر از شرایط زون کاتاکلاستیک می‌باشد (Bitencourt and Nardi, 2004). در تأیید این موضوع می‌توان به زونهای برشی شکل‌بزیر و تغییر شکل خمیری گرانوودیوریتها در همبrij توده نفوذی با سنگهای میزان اشاره کرد. به هر حال، وجود فلدسپارهای پرتیتی در کنار کانیهای آبدار آمفیول و بیوتیت در مجموعه کانیهای گرانوودیوریت می‌تواند نشانه جایگزینی این توده در ژرفاهای کم پوسته (فشارهای کمتر از ۴ کیلوبار) باشد (Philpotts, 1990). میانبارهای آمفیولیتی حاشیه‌های گرد تا زاویه‌دار دارند و در تمام توده گرانوودیوریتی قابل مشاهده‌اند. اندازه آنها از کوچک‌تر از ۱ cm تا بزرگ‌تر از ۱/۵ m متغیر است. این میانبارها از مجموعه کانیهای متعادل هورنبلند سبز، پلاژیوکلاز، اندکی اسفن و کانی تیره تشکیل شده است. این سنگها بر اثر تحمل دگرشکلی و دگرگونی گرمابنی (دیناموترمال)، بافت جهت یافته نشان می‌دهند (شکل ۵).

### ۲-۳- دایکها

توده نفوذی لخشک مورد هجوم دایکهای فراوانی قرار گرفته است. این دایکها دارای روند کلی شمال‌خاور-جنوب‌باخته است. نتایج مطالعات سنگ‌نگاری و تجزیه نورم نشان می‌دهد این سنگها دارای دامنه ترکیبی گرانوودیوریت تا مونزروودیوریت هستند (شکل ۶). دایکهای گرانوودیوریتی دارای بافت پورفیری با درشت بلورهای پلاژیوکلاز و کوارتز است. تعدادی از درشت بلورهای پلاژیوکلاز بافت غربالی نشان می‌دهند و در حاشیه آنها بافت گرانوفیری تشکیل شده است (شکل ۴B). از دیدگاه Stewart and Pearce (2004) ظهور بافت غربالی در

رونده شمالي- جنوبي است (شکل ۲). زون جوش خورده سیستان حاصل فروزانش بلوک لوت به زیر بلوک افغان به سمت شمال خاور و بسته شدن اقیانوس سیستان است (Tirtul et al., 1983). افتخارنژاد (۱۳۵۲) به خاطر وجود آتشفسانیهای سوزوییک در بخش خاوری و شمالی بلوک لوت جهت فروزانش را به سمت باخته (زیر بلوک لوت) در نظر می‌گيرد. بيشتر سنگهای اين پهنه داراي سن كرتase بالايي تا ميوسن هستند. تعين سنهاي انجام شده بر روی توده‌هاي گرانووديوري اين زون به روش K-Ar، مشخص کرده که ميانگين سن اين توده‌ها حدود ۳۲ ميليون سال است (Camp and Griffis, 1982). اين سن با حضور ميكروفيسيلهای شاخص ائوسن، در سنگهای دگرگونی درجه پايان موجود در منطقه سازگار است (Berberian, 1983).

### ۳- روابط صحرائي و سنگنگاري

توده بخصوصی شکل لخشک با امتداد شمال‌باخته- جنوب‌خاور در سنگهای دگرگونی ناحیه‌ای درجه ضعیف ائوسن (اسلیت و فیلیت) تزریق شده است. سنگهای میزان در محل همبrij توده، متحمل دگرگونی همبrij شده و به بیوتیت شیست و کردبریت بیوتیت شیست تبدیل شده‌اند. در بعضی جاهای در همبrij رگه‌هایی از مذابهای گرانوودیوریتی که در سنگهای میزان تزریق شده، درجه دگرگونی افزایش یافته و باعث تشکیل مقادیر اندکی کانیهای گارنت و سیلیمانیت نیز شده است. لایه بندی سنگهای میزان در تمام مناطق اطراف توده موازی همبrij آن است.

اين توده توسط تعداد زيادي دايک موازي با امتداد شمال‌خاور-جنوب‌باخته قطع شده است (شکل ۳). ستيراي اين دايکها بين ۱۲-۰/۵ متر متغير است و شيب متوسط آنها حدود ۸۰° است. با درنظر گرفتن اين نكته که دايکهای موازی موجود در توده نفوذی لخشک حدود ۲۰ تا ۳۰ درصد حجم توده را به خود اختصاص داده‌اند، در اينجا بهتر است سنگهای منطقه مورد مطالعه را به دو گروه سنگهای تشکيل دهنده توده اصلی و سنگهایی که به شکل دايک رخمنون دارند، تقسيم کنيم.

### ۱-۳- سنگهای توده نفوذی

سنگهای توده گرانوودیوریتی لخشک از نظر کانی‌شناسی شامل پلاژیوکلاز (۴۷ درصد)، فلدسپار پاتاسیم (۱۴ درصد)، کوارتز (۱۹ درصد)، بیوتیت (۱۱ درصد)، هورنبلند (۷ درصد)، اسفن، آپاتیت و کانی تیره (حدود ۲ درصد) است. بر پايه مطالعات سنگ‌نگاری و تجزیه مدل اين سنگها در محدوده گرانوودیوریت واقع می‌شوند (جدول ۱).



رونده منفی نشان می‌دهد که این روند از ویژگیهای گرانیتهای نوع I محسوب می‌شود (شکل ۸). به نظر (Chappell and White 1992) به دلیل تبلور بخشی آپاتیت در گرانیتهای I، فسفر به عنوان یک عنصر سازگار رفتار کرده و با ادامه تغیریق مقدار آن در مذاب باقیمانده کاهاش می‌یابد. در حالی که این عنصر در گرانیتهای نوع S به علت عدم تبلور آپاتیت رفتار متفاوتی نشان داده و با ادامه تغیریق، تمرکز آن در مذاب باقی مانده زیاد می‌شود. در شکل ۹، روند تغییرات برخی از عناصر کمیاب نمونه‌های مورد مطالعه در نمودارهای هارکر نشان داده شده است. رابطه مثبت تغییرات  $\text{Th}$  در برابر  $\text{SiO}_2$  وجه تشابه دیگر سنگهای توده گرانوودیوریتی لخشک با گرانیتهای نوع I به شمار می‌آید (Chappell and White, 1992).

سنگهای توده گرانوودیوریتی لخشک در نمودار AFM روند خطی نشان می‌دهند و از لحاظ فراوانی آلومین همگی در محدوده سنگهای متاآلومین قرار می‌گیرند (شکل‌های ۱۱ و ۱۲). روند خطی نمونه‌های مورد مطالعه در نمودار AFM از ویژگیهای سنگهای کلسیمی - قلیایی مناطق کوهزاری محسوب می‌شود (Irvine and Baragar, 1971).

#### ۴-۲- نمودارهای چند عنصري

فراوانی عناصر کمیاب بهنجار شده نسبت به کندریت و گوشته اولیه برای گرانوودیوریتها و دایکها در شکل ۱۳ نشان داده شده است. این سنگها از عناصر LREE و LILE غنی شده‌اند ( $\text{La}/\text{Sm}_{\text{N}} = 4/5$ ) و به نسبت از عناصر HREE تهی شدگی نشان می‌دهند ( $\text{Gd}/\text{Yb}_{\text{N}} = 3/6$ ).

در نمودارهای بهنجار شده، عناصر  $\text{Ti}^+$ ,  $\text{P}^+$ ,  $\text{Ta}^+$ ,  $\text{Nb}^+$  دارای بی‌هنجاری در نمودارهای تیتان‌دار مانند اسفن، ایلمینیت، روتیل و بعضی از آمفیولها کنترل می‌شود. با افزایش فشار حلالیت کانیهای تیتان‌دار در سیالات آبدار HFS کاهاش می‌یابد (Glenn, 2004) و کانیهای مذکور که غنی از عناصر  $\text{HFS}$  هستند طی فرایندهای ذوب بخشی در ژرفاهای بیش از ۳۰ کیلومتر، به صورت فازهای بر جا باقی می‌مانند و باعث پیدایش بی‌هنجاری منفی در مذاب می‌شوند (Glenn, 2004). چنانچه قبل اشاره شد چون فسفر در گرانیتهای I به صورت یک عنصر سازگار رفتار می‌کند، تغیریق آپاتیت در مراحل اولیه تغیریق ماگما، باعث ایجاد بی‌هنجاری منفی P در این سنگها شده است. اما دایکها به دلیل داشتن آپاتیت به نسبت فراوان و ترکیب بازی تر از گرانوودیوریت، تقریباً فاقد بی‌هنجاری منفی P هستند (شکل‌های ۱۳ و ۱۴). سیالها و مذابهای ناشی از پوسته اقیانوسی فرورو با متساماتیسم گوه گوشته‌ای بالای خودشان، باعث ایجاد بی‌هنجاری منفی Nb و

پلازیوکلازها می‌تواند نشانه ناپایداری بلورها در اثر کاهش ناگهانی فشار یا افزایش دما در حین صعود و تبلور مانگما باشد (شکل ۴B).

بلورهای کوارتز در دایکهای که ترکیب نورماتیو گرانوودیوریت دارند، بافت خلیج خورده‌گی نشان می‌دهند (شکل ۴C) و بلورهای پلازیوکلاز آنها دارای حاشیه‌های گرد شده هستند (شکل ۴D). این شواهد، حاکی از عدم تعادل این بلورها با زمینه سنگ است. خورده شدن درشت بلورهای کوارتز باعث کاهش مقدار مواد این بلورها می‌شود. این امر سبب شده که نتایج تجزیه‌های مواد اول و نورماتیو این دایکها متفاوت باشد (جدول ۱) و بر اساس نتایج تجزیه مواد این دایکها در محدوده کوارتز مونزودیوریت واقع شوند. همان گونه که در جدول ۱ مشاهده می‌شود مقدار فراوانی بیوتیت در دایکهای با ترکیب نورماتیو گرانوودیوریت بسیار بیشتر از دایکهای مونزودیوریتی است.

عكس این موضوع در مورد بلورهای هورنبلند صادق است. به گونه‌ای که فراوانی هورنبلند در دایکهای مونزودیوریتی (حدود ۴۵/۶۱) بسیار بیشتر از فراوانی آنها در دایکهای گرانوودیوریتی است (حدود ۸/۵).

رونده دایکهای مونزودیوریتی کاملاً مشابه دایکهای گرانوودیوریتی (شمال‌خاور- جنوب‌باخته) است ولی تعداد آنها کمتر از دایکهای گرانوودیوریتی است. دایکهای مونزودیوریتی حاوی کانیهای پلازیوکلاز (۲۷/۵۴ درصد)، ارتوکلاز (۴/۶۴ درصد)، کوارتز (۰/۵۷ درصد)، هورنبلند (۶/۶۸ درصد) و قهقهه‌ای (۴۵/۶۱ درصد)، پیروکسن (۱۱/۰۱ درصد) و آپاتیت (۴۹/۱ درصد) هستند و به ندرت درشت بلورهای پلازیوکلاز یا کوارتز دارند. مقدار کانیهای آپاتیت و مگنتیت این دایکها بیشتر از دیگر نمونه‌های سنگی موجود در منطقه است.

#### ۴- ژئوشیمی

##### ۴-۱- ژئوشیمی عناصر اصلی و کمیاب

نتایج تجزیه ژئوشیمیایی ۶ نمونه از سنگهای گرانوودیوریتی و ۴ نمونه از دایکهای منطقه که به روش ICP-ALSCHEMEX در آزمایشگاه کانادا تجزیه شده‌اند، در جدول ۲ ارائه شده است. دامنه تغییرات  $\text{SiO}_2$  در نمونه‌ها بین ۶۹/۱-۴۹/۱ درصد است. سنگهای نفوذی بین ۶۴ تا ۶۹ درصد  $\text{SiO}_2$  دارند و همه نمونه‌ها در محدوده گرانوودیوریت و نزدیک به هم واقع می‌شوند. مقدار تغییرات  $\text{SiO}_2$  در دایکها حدود ۱۷ درصد (۴۹/۱-۶۶/۱) است و همان گونه که قبل اشاره شد، دارای دامنه ترکیبی گسترده‌تری از گرانوودیوریت  $\text{MgO}$  تا مونزودیوریت هستند. در نمودارهای هارکر مقدار اکسیدهای  $\text{CaO}$ ,  $\text{Al}_2\text{O}_3$ ,  $\text{P}_2\text{O}_5$ ,  $\text{Fe}_2\text{O}_3$  و  $\text{MnO}$  با افزایش  $\text{SiO}_2$  کم می‌شود (شکل ۷). نمودار  $\text{SiO}_2$ - $\text{P}_2\text{O}_5$  نسبت به  $\text{SiO}_2$  برای نمونه‌های مورد مطالعه

(۲) با افزایش  $\text{SiO}_2$  مقدار Yb کم می‌شود که این امر می‌تواند نشانه منشأگیری ماگماهای سازنده سنگهای منطقه از ذوب بخشی آمفیبولیت باشد (Dokuz et al., 2005). (شکل ۹).

(۳) الگوهای بهنجار شده تغییرات عناصر کمیاب برای سنگهای توده گرانوودیوریتی لخشک دارای مقادیر Y و HREE پایین و مقادیر Sr/Y بالا مشابه ماگماهای آداکیتی است که از ذوب سنگهای آمفیبولیتی در ژرفاهای بیش از ۳۵ کیلومتر سرچشمه گرفته‌اند (Wang et al., 2005; Wang et al., 2006a; Wang et al., 2006b).

(۴) میانگین مقادیر  $\text{Fe}_2\text{O}_3 + \text{MgO} + \text{TiO}_2$  سنگهای مورد مطالعه حدود ۱/۷ درصد وزنی است که با میانگین این عناصر در مذاب آداکیتی ناشی از ذوب بخشی پوسته بازالتی جوان فروزانده شده که حدود ۷ درصد وزنی می‌باشد (Martin, 1987; Drummond and Defant, 1990)، قابل مقایسه است.

(۵) میانگین مقدار نیکل در سنگهای توده گرانوودیوریتی لخشک حدود ۲۹ ppm است که در محدوده مقدار نیکل حاصل از ذوب بخشی پوسته اقیانوسی جوان (Martin, 1999) (۲۰–۵۰ ppm) قرار دارد.

(۶) در بیشتر سنگهای توده گرانوودیوریتی لخشک، عدد Mg حدود ۰/۵ در برابر میانگین مقادیر مادگماهای آداکیتی (۰/۵۱) قابل مقایسه است (Martin, 1999; Drummond and Defant, 1990; Defant and Drummond, 1990).

(۷) در بیشتر سنگهای مورد مطالعه مقدار Cr بین ۳۰–۴۰ ppm بوده و با مقدار Cr مادگماهای آداکیتی (۳۰–۵۰) قابل مقایسه است (Martin, 1999).

(۸) میانگین مقادیر Yb و Y این سنگها به ترتیب کمتر از ۱/۲ و ۱۵/۱۳ است و در محدوده مادگماهای آداکیتی ( $Y < Yb < 1/8$  ppm) قرار می‌گیرند (Martin, 1999).

(۹) در شکل ۱۸ نمودار La/Yb در برابر Yb برای این سنگها رسم شده است. همان گونه که مشاهده می‌شود این نمونه‌ها در محدوده آداکیتیهای منشأ گرفته از ذوب بخشی آمفیبولیتی‌های گارنت‌دار قرار می‌گیرند (Martin, 1986). مطالعات انجام شده نشان می‌دهد که مادگماهای آداکیتی می‌توانند از ذوب بخشی سنگهای آمفیبولیت پوسته اقیانوسی فرورو یا پوسته قاره‌ای در محدوده پایداری گارنت (ژرفاهای بیش از ۳۵ کیلومتر) تشکیل شوند (Drummond and Defant, 1990; Defant and Drummond, 1990; Wang et al., 2005; Wang et al., 2006a; Wang et al., 2006b).

**الف) سنگهای پوسته قاره‌ای آمفیبولیتی:** استقرار مادگماهای مافیک در

می‌شوند (Chappell, 1999) و لذا وجود بی‌هنجری منفی این عناصر در سنگهای منطقه می‌تواند نشان دهنده شکل‌گیری آنها در منطقه فروزانش باشد. بی‌هنجری مثبت Pb به متاسوماتیسم گوه گوشته‌ای توسعه سیالهای ناشی از پوسته اقیانوسی فرورو و یا آلایش مادگما با پوسته قاره‌ای اشاره دارد (Atherton and Ghani, 2002; Kamber et al., 2002).

## ۵- موقعیت زمین‌ساختی مادگماهی

همان گونه که در بحث ژئوشیمی اشاره شد، شواهدی همچون روند کاهش اکسید  $\text{P}_2\text{O}_5$  نسبت به  $\text{SiO}_2$  و بی‌هنجری منفی Nb و Ta در سنگهای توده گرانوودیوریتی لخشک از ویژگیهای گرانیتیهای I به شمار می‌آیند و نشان می‌دهند که سنگهای مورد بحث احتماً از ذوب بخشی پوسته اقیانوسی فرورو و یا گوه گوشته‌ای متاسوماتیسم شده منشأ گرفته‌اند. به همین دلیل، نمونه‌های مورد مطالعه در نمودار Pearce (1996) در محدوده گرانیتیهای کمان آتشفسانی (VAG) قرار می‌گیرند (شکل ۱۵).

سنگهای توده گرانوودیو یتی لخشک در نمودار (Harris et al., 1986) نیز در محدوده گرانیتیهای کمان آتشفسانی (VAG) واقع شده‌اند. دایکها در گروه اوآخر برخورد و یا پس از برخورد قرار می‌گیرند که با مطالعات صحرایی و نفوذ آنها در توده گرانوودیوریتی سازگار است (شکل ۱۶). سنگهای مورد مطالعه در نمودار (Maniar and Piccoli, 1989) که بر اساس اکسیدهای عناصر اصلی رسم شده است، در محدوده گرانیتیهای کمان قاره‌ای (CAG) واقع می‌شوند (شکل ۱۷A) و نمودار AFM هم این موضوع را تأیید می‌کند (Bowden et al., 1984) (شکل ۱۷B).

نزدیکی مکانی گرانیتیویدها و کمپلکس افیولیتی جنوب باختز زاهدان (شکل ۱) و سنهای ایزوتوپی این گرانیتیویدها (۳۲ میلیون سال) که اندکی جوان‌تر از میکروفیلهای شاخص اثوسن موجود در سنگهای میزان گرانیتیویدها می‌باشد، نشان می‌دهد که همه آنها با فرایندهای ناحیه‌ای وابسته به هم تشکیل شده‌اند (Camp and Griffis, 1982; Berberian, 1983).

در مباحث فوق بر اساس روند تغییرات عناصر اصلی و کمیاب ملاحظه شد که در تشکیل سنگهای توده گرانوودیوریتی لخشک، پوسته اقیانوسی فرورو، ذوب بخشی گوه گوشته‌ای متاسوماتیسم شده بالای زون فروزانش و یا مشارکت این دو نقش داشته‌اند. دیگر ویژگیهای سنگ‌شناختی همچون کلسیمی-قلیایی و نوع I بودن توده هم این موضوع را تأیید می‌کنند. شواهد ژئوشیمیایی، سنگ‌شناختی و صحرایی زیر نشان می‌دهد که سنگهای منطقه مورد مطالعه احتماً از ذوب بخشی سنگهای آمفیبولیتی سرچشمه گرفته‌اند. (۱) وجود میانبارهای آمفیبولیتی در توده گرانوودیوریتی لخشک.

شده است و سپس در اثوسن میانی شروع به بسته شدن کرده، اطباق دارد (Stocklin, 1968; Tirrul et al., 1983; Camp and Griffis, 1982; Berberian, 1983).

بحثهای بالا نشان می‌دهد که ذوب بخشی پوسته اقیانوسی جوان در ژرفاهای بیش از ۳۵ کیلومتر نقش مهمی در تشکیل توده گرانوودیوریتی لخشک داشته است. Ba عنصری ناسازگار و متحرک است که مقدار آن در پوسته قاره‌ای و رسوبات زیاد است (Rollinson, 1998). هنگامی که رسوبات روی پوسته اقیانوسی فروزانده می‌شود Ba آنها توسط سیالهای ناشی از بی‌آب شدن رسوبات و پوسته اقیانوسی به گوه گوشته‌ای منتقل شده و تولید مأگماهایی با Ba/La بالا می‌کند (Kamber et al., 2002). همان گونه که در شکل ۱۹ دیده می‌شود، سنگهای منطقه مورد مطالعه دارای نسبت پایین Ba/La هستند و به نظر می‌رسد که مشابه سنگهای جزایر آله‌شین (Aleutian) ذوب بخشی پوسته اقیانوسی فرورو پیش از بی‌آب شدن آن اتفاق افتاده باشد (Kamber et al., 2002).

## ۷- نتیجه‌گیری

توده گرانوودیوریتی لخشک در ۱۰ کیلومتری شمال باخت زاهدان واقع شده و بخشی از نوار مأگمایی زاهدان سراوان به شمار می‌آید. این توده در رسوبات فلیشی اثوسن جایگیر شده و سن الیگومن دارند.

از نظر ترکیب سنگ‌شناسی این توده را می‌توان به دو بخش تقسیم کرد.

(۱) توده اصلی که دارای ترکیب سنگ‌شناسی گرانوودیوریت می‌باشد.

(۲) دایکهای موجود در توده که حدود ۲۰-۳۰ درصد حجم توده را به خود اختصاص داده‌اند و دارای دامنه سنگ‌شناسی گستره‌ای از گرانوودیوریت تا مونزودیوریت است.

بر اساس نتایج ژئوشیمی، سنگهای مورد مطالعه از نوع کلسیمی-قلیایی و متا‌آلومین است. روند کاهش  $P_2O_5$  و افزایش Th نسبت به افزایش  $SiO_2$  و نمودارهای مختلفی که برای تعیین محیط زمین‌ساختی تشکیل توده استفاده شده، نشان می‌دهد که سنگهای مورد مطالعه مشابه گراینرهای نوع I می‌باشند و در محیط کمان آتشفشاری قاره‌ای تشکیل شده‌اند.

اکثر این سنگها دارای مقدار  $TiO_2$  بین ۵۷-۴۲٪ هستند که معروف مأگماهای حاشیه قاره است. کاهش مقدار Yb نسبت به افزایش  $SiO_2$  نشان می‌دهد که این سنگها از ذوب بخشی آمفیبولیت سرچشمه گرفته‌اند.

بررسی رفتار ژئوشیمیایی عناصر کمیاب بر روی نمودارهای عنکبوتی نشان می‌دهد که سنگهای توده گرانوودیوریتی لخشک از عناصر LIL و HREE غنی شده‌اند و از عناصر Y و REE تهی شده‌اند. همچنین این سنگها دارای

زیر پوسته قاره‌ای آمفیبولیتی می‌تواند مقدار زیادی مأگماهای فلزیک تولید کند (Rushmer, 1991). همچنین تزریق مدام مأگماهای ناشی از ذوب بخشی پوسته اقیانوسی یا گوه گوشته‌ای به درون پوسته قاره‌ای باعث افزایش حجم و س্টرب شدن پوسته قاره‌ای می‌شود. زمانی که س্টربای پوسته قاره‌ای بیش از ژرفاهای پایداری گارت باشد، ذوب سنگهای پوسته آمفیبولیتی می‌تواند مأگماهای آداکیتی تولید کند (Christopher et al., 1997). این مأگماها از LIL و HREE مشابه مأگماهای تشکیل دهنده توده گرانوودیوریتی لخشک، فقر شدگی نشان می‌دهند (Atherton and Petford, 1993; Drummond and Defant, 1990) با توجه به شواهد زیر، احتمال منشأ گرفتن مأگماهای توده گرانوودیوریتی لخشک از ذوب پوسته قاره‌ای آمفیبولیتی ضعیف است.

۱) وجود بی‌هنجری مثبت Sr نشانه منشأ گرفتن مأگماهای تشکیل دهنده این سنگها از پوسته اقیانوسی فرورو است. چون مأگماهایی که از ذوب پوسته قاره‌ای منشأ می‌گیرند دارای بی‌هنجراری منفی Sr هستند (Wang et al., 2006a).

۲) مقدار  $Na_2O$  این سنگها بیشتر از  $K_2O$  است و بیشتر دارای  $K_2O/Na_2O$  حدود ۰/۶۶ هستند، در صورتی که این نسبت در مأگماهای مشتق شده از پوسته قاره‌ای بیشتر از ۱ است (Wang et al., 2005).

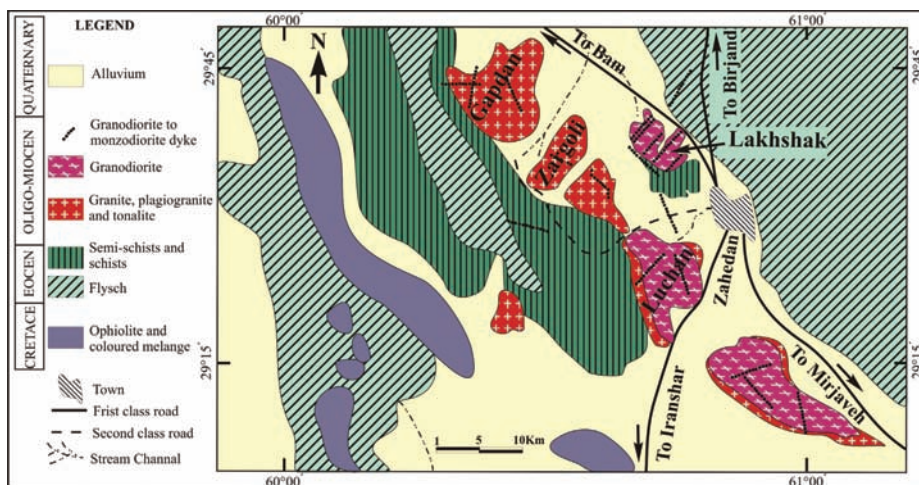
ب) پوسته اقیانوسی آمفیبولیتی: آزمایش‌های تجربی نشان می‌دهد که مأگماهای آداکیتی می‌تواند در دمای بیش از ۱۱۵-۲ Gpa و فشار ۸۰۰<sup>۰</sup> از ذوب بخشی پوسته اقیانوسی آمفیبولیتی تشکیل شود (Drummond and Defant, 1990 Rapp et al., 1991; Sen and Dunn, 1994).

گرادیان زمین گرمایی در مناطقی که پوسته اقیانوسی جوان فرورانده می‌شود بالاتر است، چون این پوسته کاملاً سرد شده و دمای بالاتری نسبت به پوسته اقیانوسی عادی دارد. هنگامی که پوسته اقیانوسی جوان فرو رانده می‌شود، سنگهای آن منحنی ذوب پریدوتیت آبدار را در ژرفاهای کمتر قطع کرده و به طور بخشی ذوب می‌شوند (Rapp and Watson, 1995). اما پوسته اقیانوسی عادی چون دمای خود را از دست داده و سرد شده، در هنگام فرو رفتن منحنی ذوب پریدوتیت آبدار را قطع نمی‌کند و فقط مواد فرار خود را از دست می‌دهد. همان گونه که در جدول ۲ مشاهده می‌شود، اگر مأگماهای گرانوودیوریتی لخشک را نتیجه ذوب پوسته اقیانوسی جوان شبیه آن بیشتر به نتایج ذوب بخشی پوسته اقیانوسی جوان شبیه است. این موضوع به خوبی با تحقیقات محققان قبلی که معتقدند در زمان کرتاسه میانی اقیانوس سیستان شروع به باز شدن کرده و پوسته اقیانوسی تشکیل

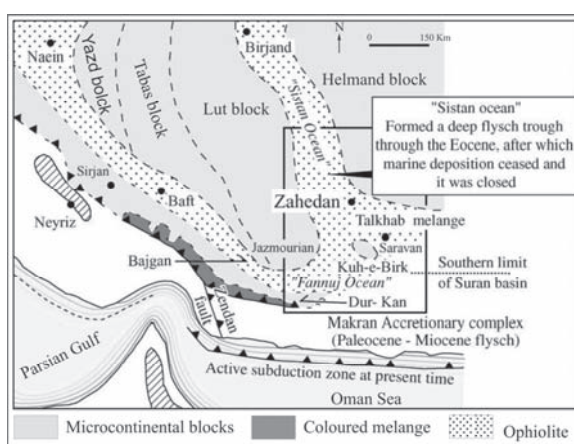
## ۸- قدردانی

این پژوهش حاصل طرح تحقیقاتی «پتروژنز و جایگاه زمین‌ساختی توده گرانیتوییدی لخشک و دایکهای آن (شمال باختر زاهدان)» به شماره پرونده ۶۰/۰۱/۶۱۰۵۰۲۶ است که با حمایت مالی معاونت پژوهشی دانشگاه تهران انجام شده است. لذا بدینویسه از همکاری ارزنده آن معاونت قدردانی می‌گردد.

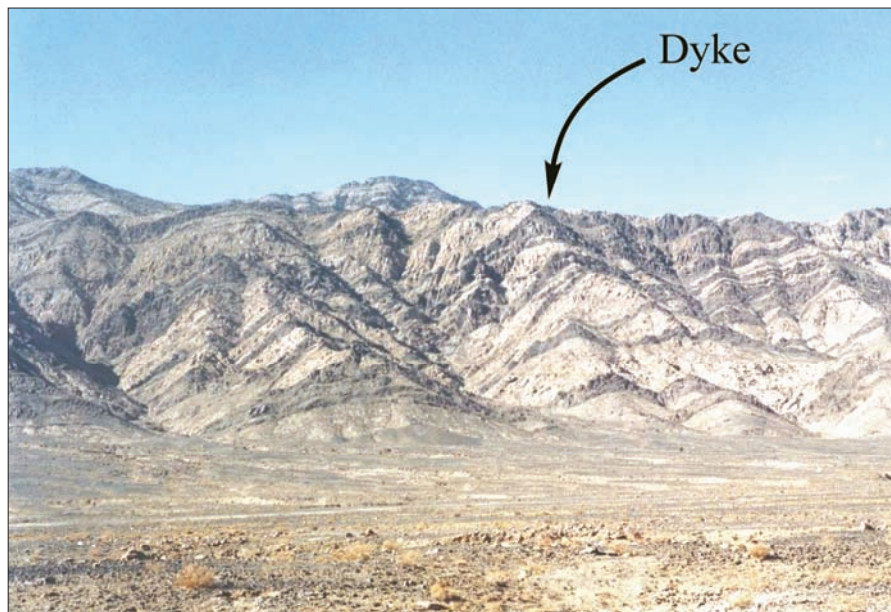
بی‌هنجرای منفی  $\text{Nb}$ ,  $\text{Ta}$ ,  $\text{Ti}$ ,  $\text{P}$  و بی‌هنجرای مثبت  $\text{Pb}$  هستند. مقدار  $\text{Nb}$ ,  $\text{Ta}$ ,  $\text{Ti}$ ,  $\text{P}$ ، میانگین  $\text{Mg} = 0/5$ ,  $(\text{Fe}_2\text{O}_3 + \text{MgO} + \text{TiO}_2) = 7/1$ ,  $\text{Y} = 1/2$  و  $\text{Yb} = 15/13$  این سنگها مشابه ماگماهای آداسکی است که از ذوب پوسته اقیانوسی جوان فرورانده شده با ترکیب آمفیولیت سرچشمه گرفته‌اند. کلیه ویژگیهای عناصر اصلی و کمیاب که در فوق بیان شد وجود میانبارهای آمفیولیتی در توده نشان می‌دهد که ماگماهای تشکیل دهنده سنگها توده گرانودیوریتی لخشک احتمالاً از ذوب بخشی پوسته اقیانوسی جوان فرورونده سرچشمه گرفته است.



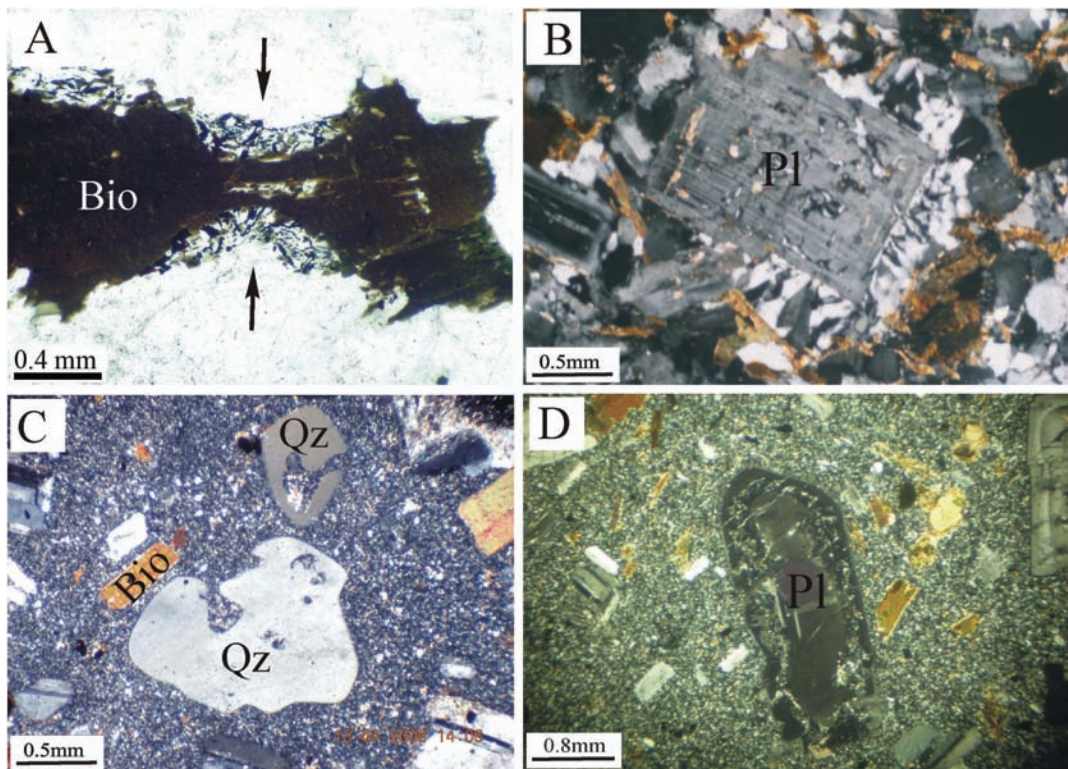
شکل ۱- پراکندگی و ترکیب توده‌های گرانیتوییدی اطراف زاهدان که در درون فلیشهای اتوسون نفوذ کرده‌اند. این نقشه بر اساس داده‌های نقشه زمین‌شناسی چهارگوش زاهدان (Behruzei, 1993) و مطالعات منتشر شده (Sadeghian, 2005) کشتگر، (۱۳۸۳) رسم شده است.



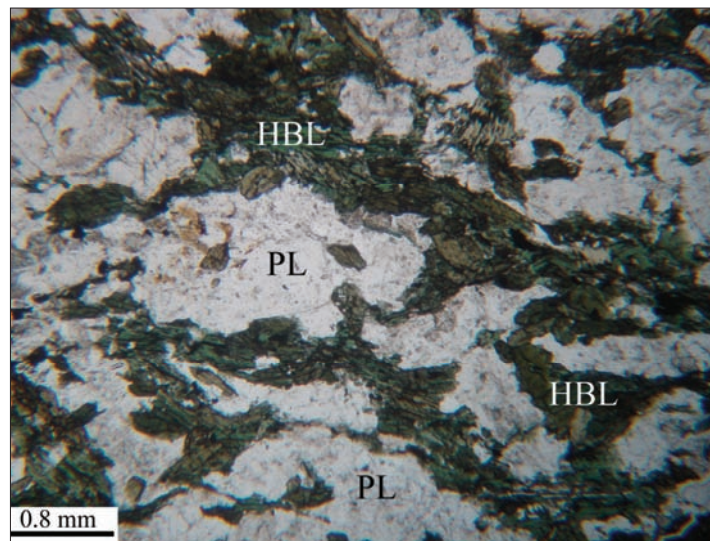
شکل ۲- عناصر ژئوتکنیکی بخش‌های جنوب خاوری ایران و نواحی مجاور آن. این نقشه نشان‌دهنده محل بقایای افیولیتی اقیانوس سیستان و فروزانش کنونی پوسته اقیانوس عمان به زیر مکران در جهت شمال‌خاور است (Mc Call, 1997).



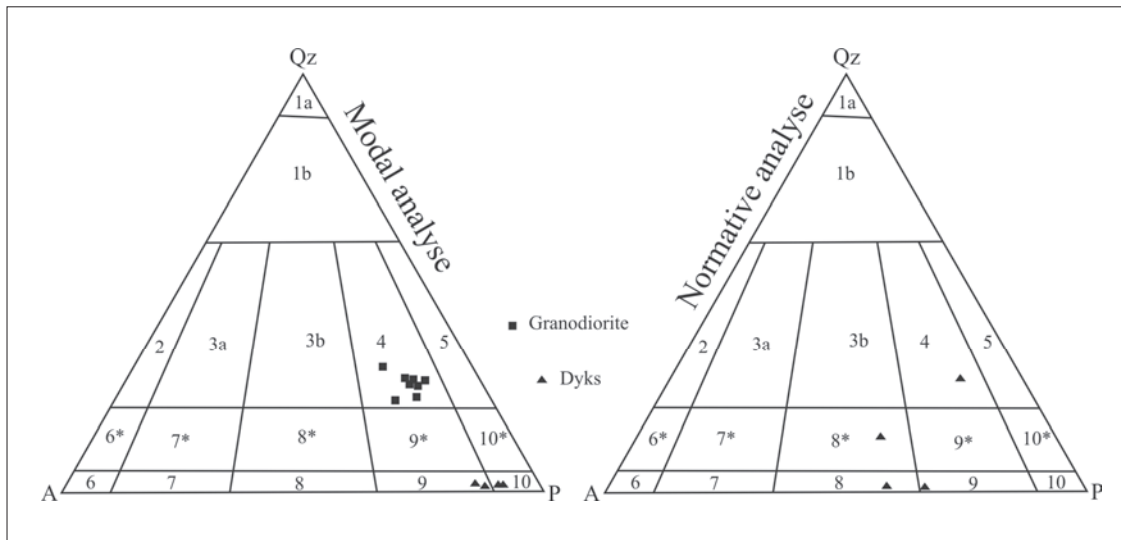
شکل ۳- نمایی از فراوانی دایکهای موجود در توده گرانوویوریتی لخشک.



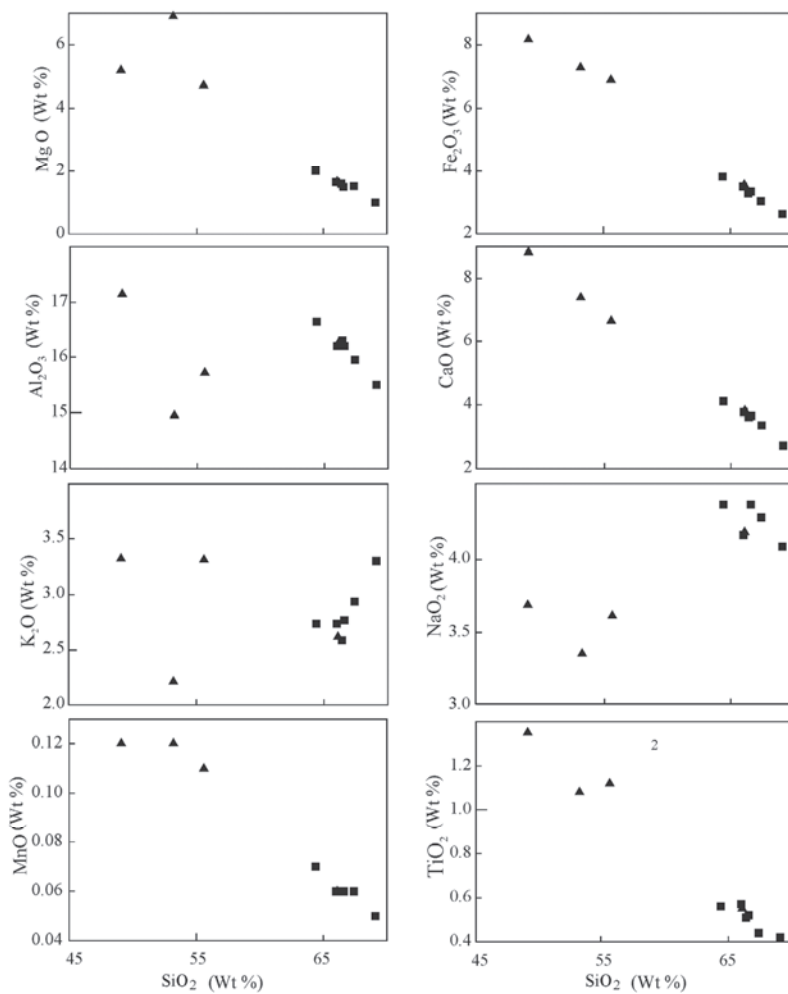
شکل ۴- (A) خوردگی ورقه‌های بیوتیت از اطراف و تبدیل بخش‌های خورده شده به تجمعی از دانه‌های ریز مگنتیت، کوارتر و زیرکن (نور طبیعی). (B) درشت بلورهای پلاژیوکلاز بافت غربالی نشان می‌دهند و در حاشیه آنها بافت گرانوویری تشکیل شده است (نور پلاریزه). (C) وجود بافت خلیج خوردگی در حاشیه بلورهای کوارتر (نور پلاریزه). (D) هضم و گردش درشت بلورهای پلاژیوکلاز (نور پلاریزه).



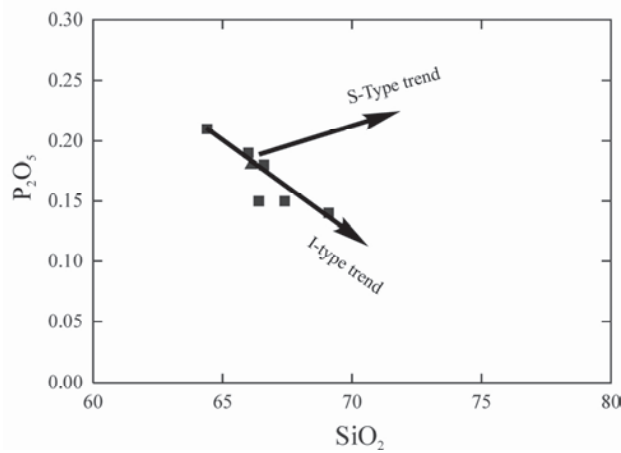
شکل ۵- میانبارهای آمفیولیتی موجود در توده گرانیتوییدی لخشک از کانیهای هورنبلند سبز و پلاژیوکلاز تشکیل شده‌اند. این سنگها دارای بافت جهت یافته هستند. HBL: هورنبلند سبز و PL: پلاژیوکلاز.



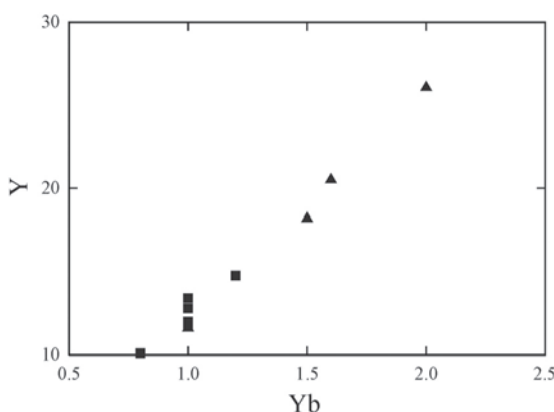
شکل ۶- در نمودار مثلثی فلدسپار قلیابی (A)-کوارتز (Q)-پلاژیوکلاز (P)، نتایج مودال سنگهای توده اصلی در محدوده گرانودیوریت قرار می‌گیرند و دایکها در محدوده دیوریت تا مونزودیوریت واقع می‌شوند. بر اساس نتایج نورم دایکها دارای طیف وسیع تری از گرانودیوریت تا مونزودیوریت هستند. محدوده‌های شماره گذاری شده به ترتیب معرف سنگهای زیر هستند: ۱- گرانیتوییدهای غنی از کوارتز. ۲- آلکالی فلدسپار گرانیت. ۳- سینوگرانیت. ۴- مونزوگرانیت. ۵- گرانودیوریت. ۶- تونالیت. ۷- کوارتز آلکالی فلدسپار سینیت. ۸- کوارتز سینیت. ۹- کوارتز مونزونیت. ۱۰- کوارتز مونزودیوریت. ۱۱- کوارتز دیوریت-کوارتز گابرو. ۱۲- آلکالی فلدسپار سینیت. ۱۳- سینیت. ۱۴- مونزونیت. ۱۵- مونزودیوریت-مونزوگابرو. ۱۶- دیوریت-گابرو-آنورتوزیت.



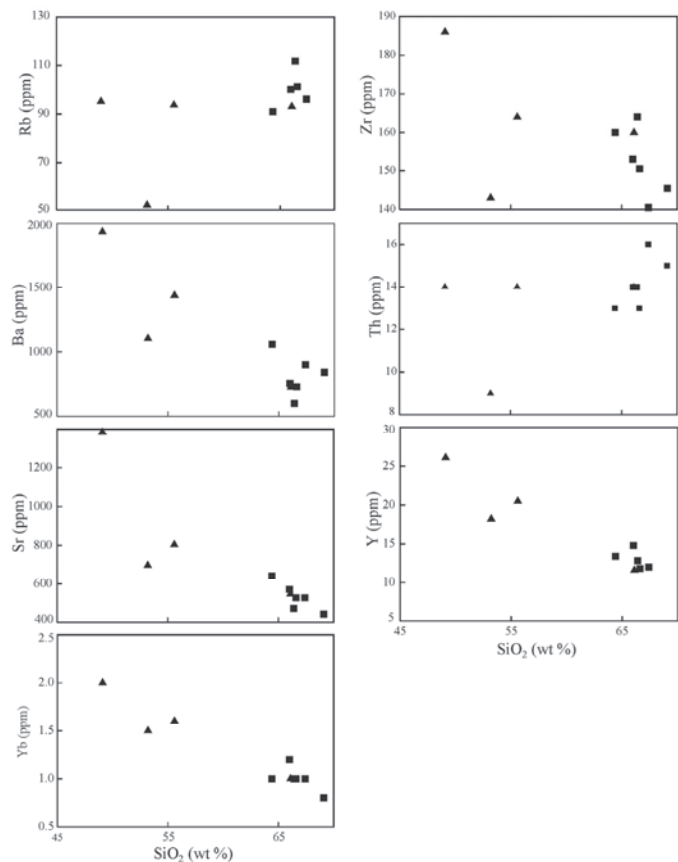
شکل ۷- روند تغییرات عناصر اصلی نسبت به  $\text{SiO}_2$ . علائم مشابه شکل ۶ است.



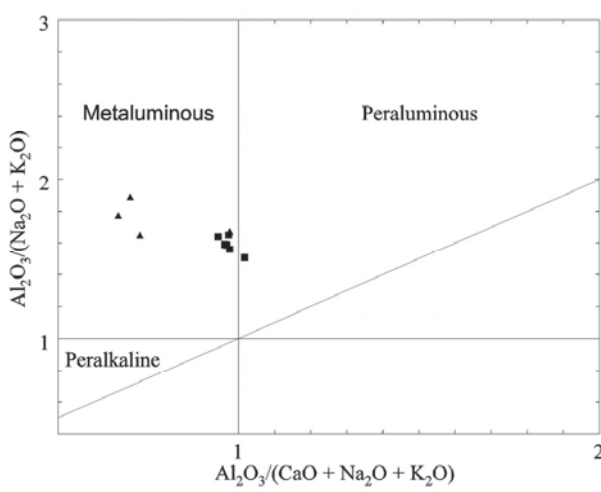
شکل ۸- روندهای تفریق  $\text{P}_2\text{O}_5$  در گرانیتهای نوع S و I (Chappell and White, 1992). همان گونه که مشاهده می‌شود، سنگ‌های توده گرانوڈیوریتی لخشک از روند گرانیتهای نوع I پریوی می‌کنند. علائم مشابه شکل ۶ است.



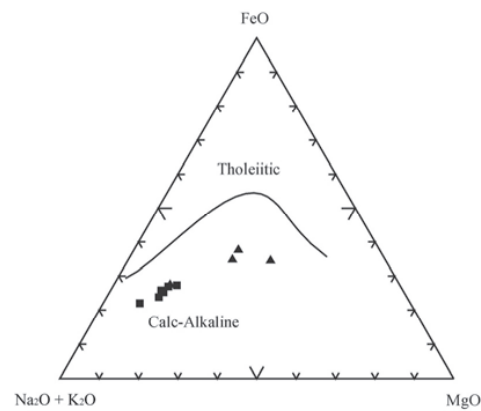
شکل ۱۰- روند خطی تغییرات دو عنصر ناسازگار  $Y$  در برابر  $Yb$  در سنگهای توده گرانوڈیوریتی لخشک و دایکهای آن نشان دهنده منشاء مشترک آنها می‌باشد. علامت مشابه شکل ۶ است.



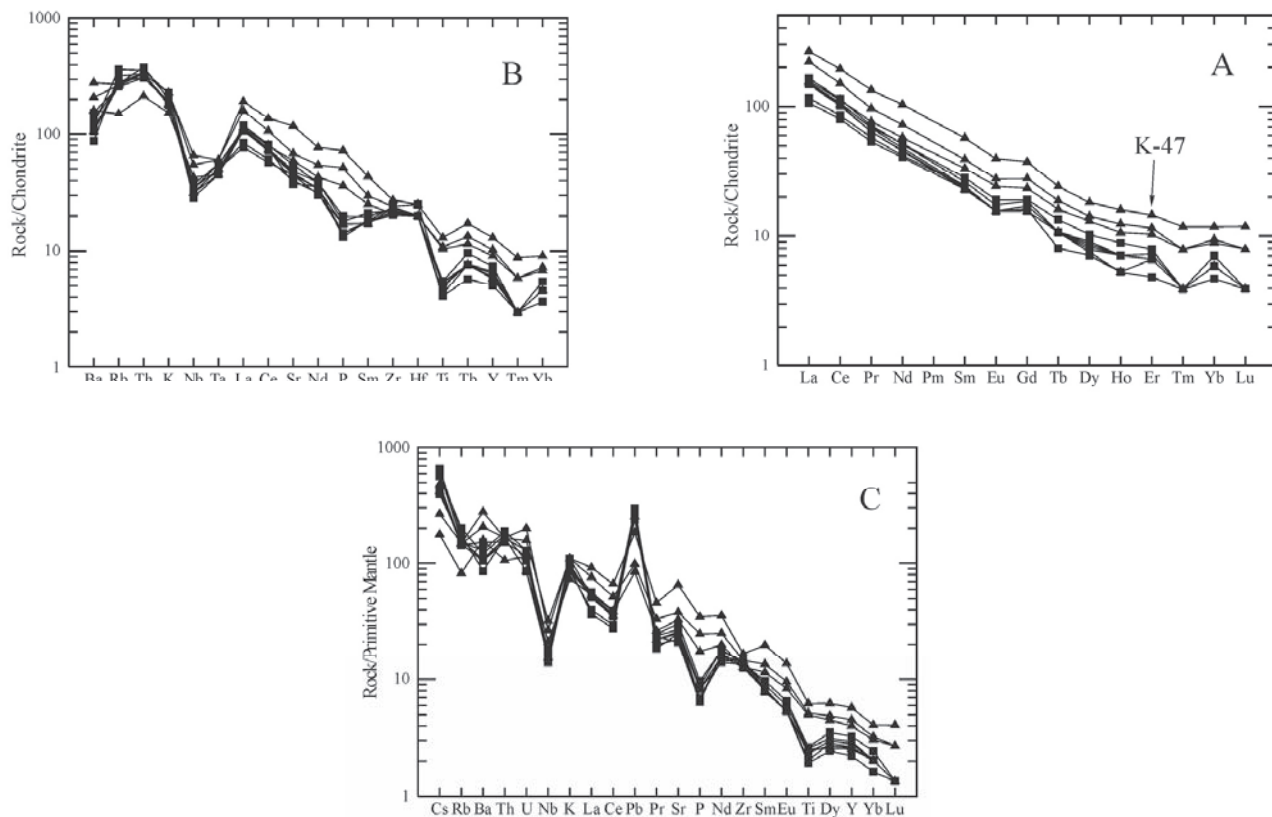
شکل ۹- روند تغییرات برخی از عناصر کمیاب نسبت به  $SiO_2$ . علامت مشابه شکل ۶ است.



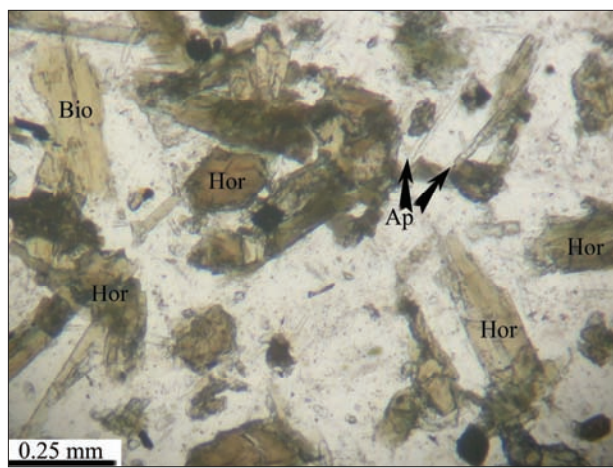
شکل ۱۲- سنگهای گرانوڈیوریتی لخشک در نمودار A/CNK-A در محدوده متاآلومین واقع می‌شوند (Maniar and Piccoli, 1989). علامت مشابه شکل ۶ است.



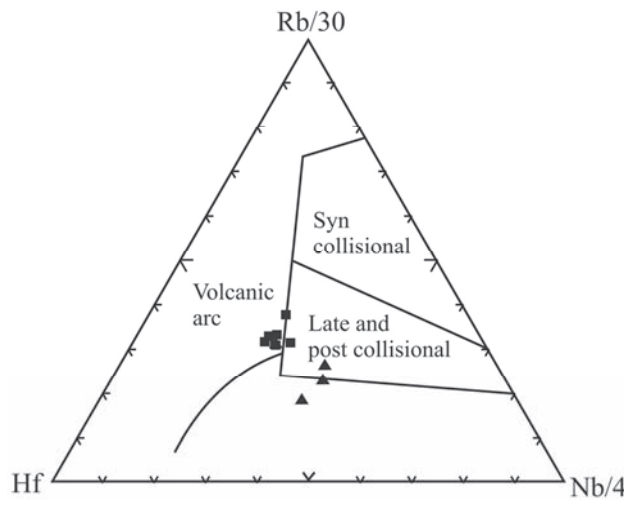
شکل ۱۱- در نمودار AFM سنگهای مورد مطالعه در محدوده کلیسیمی-قلیایی قرار می‌گیرند. همان گونه که در شکل فوق مشاهده می‌شود این نمونه‌ها در ای روند خطی هستند که از ویژگیهای سنگهای کلیسیمی-قلیایی مناطق کوهزاری به شمار می‌آید (Irvine and Baragar, 1971). علامت مشابه شکل ۶ است.



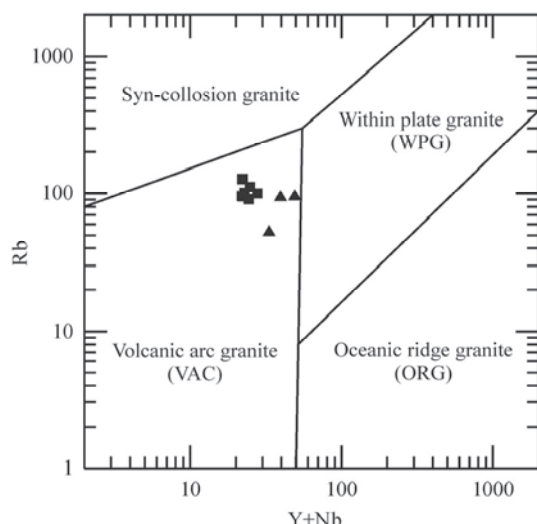
شکل ۱۳ - A) تغییرات فراوانی عناصر REE بهنجار شده نسبت به کندریت (Sun and McDonough, 1989). B) تغییرات فراوانی عناصر اصلی و کمیاب بهنجار شده نسبت به کندریت (Thompson, 1982). C) تغییرات فراوانی عناصر اصلی و کمیاب بهنجار شده نسبت به گوشته اولیه (Sun and McDonough, 1989). علائم مشابه شکل ۶ است.



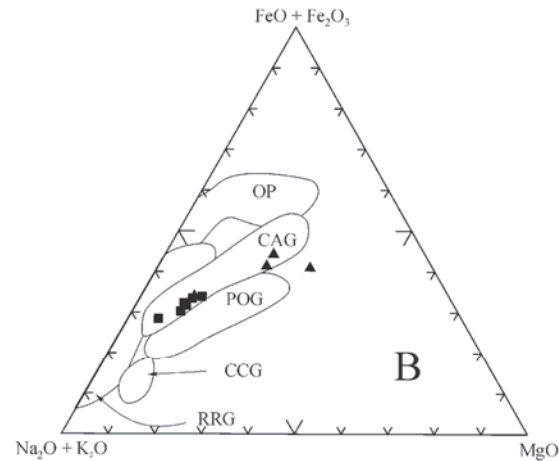
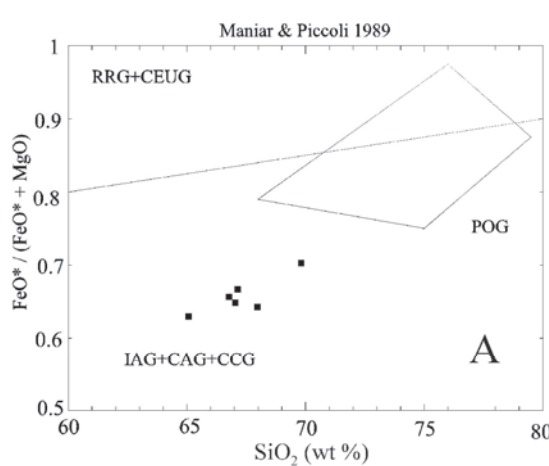
شکل ۱۴ - فراوانی نسبی کانیهای آپاتیت در دایکها.



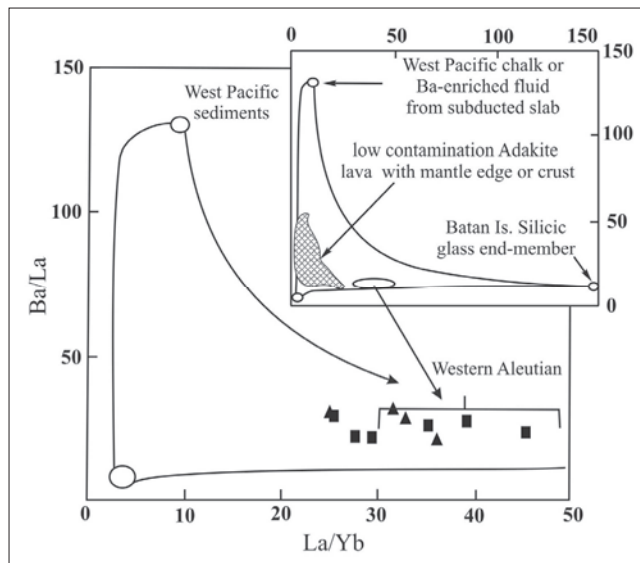
شکل ۱۶- سنگهای گرانوڈیوریتی در محدوده VAG و دایکها در محدوده پس برخوردی واقع شده‌اند (Harris et al., 1986). علائم مشابه شکل ۶ است.



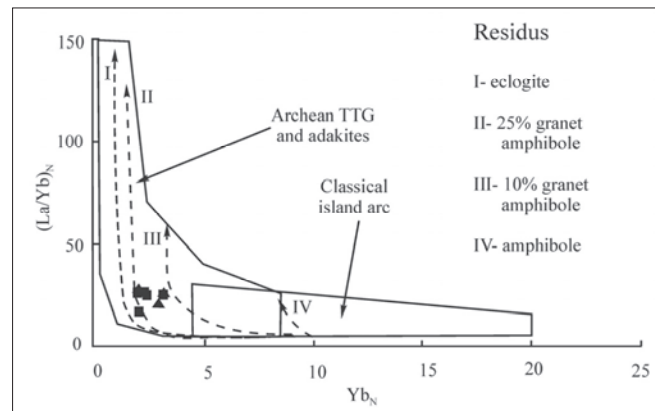
شکل ۱۵- سنگهای توده نفوذی لخشک در محدوده گرایتهای کمان آتشفانی (VAG) قرار می‌گیرند (Pearce et al., 1982). علائم مشابه شکل ۶ است.



شکل ۱۷- (A) نمودار Maniar and Piccoli (1989) و قرار گیری سنگهای مورد مطالعه در محدوده CAG. (B) سنگهای مورد مطالعه در نمودار AFM (Bowden et al., 1984) در محدوده گرایتهای کمان قاره واقع شده‌اند. علائم مشابه شکل ۶ است.



شکل ۱۹- سنگ‌های منطقه مورد مطالعه دارای مقادیر Ba/La کم هستند و این موضوع مؤید ذوب بخشی پوسته اقیانوسی فرورو پیش از بی آب شدن آن است (Kamber et al., 2002). علامت مشابه شکل ۶ است.



شکل ۱۸- قرار گرفتن نمونه‌های مورد مطالعه در محدوده بین II و III می‌تواند نشان دهنده منشأ گرفتن آنها از ذوب سنگ‌های آمفیبولیت باشد. علامت مشابه شکل ۶ است.

جدول ۱- میانگین نتایج تجزیه‌های مودال و نورم سنگ‌های توده نفوذی لخشک و دایکهای آن.

تجزیه نورم		تجزیه مودال		سنگ‌های توده نفوذی	نام سنگ
دایکها		دایکها			
کوارتز	گرانوویوریت	مونزوویوریت	گرانوویوریت		
۳/۵	۲۱/۶	۰/۵۷	۱۹		کوارتز٪
۱۳	۱۵/۵	۴/۶۴	۱۴		ارتوکلاز٪
۴۷/۵	۵۳/۲	۲۷/۵۴	۴۷		پلاژیوکلاز٪
۱۳	۴/۲	۱۱/۰۱	۰	۰	کلیپیویوریت٪
۹	۰		۰	۰	دیوبیول٪
۰/۲۶	۰/۲	۰	۰	۰	ایلمینیت٪
۷/۲۸	۳/۶	۲/۳۵	<۱	۰	هماتیت٪
۲/۳۲	۰	۰	۰	۰	اسفن٪
۰/۸۸	۰/۴۲	۶/۶۸	<۱	۰	آپاتیت٪
۰	۰/۴۸	۰	<۱	۰	روتیل٪
۰	۰	۰	۱۱	۰	بیوتیت٪
۰	۰	۴۵/۶۱	۷	۰	هورنبلند٪

جدول ۲- نتایج تجزیه ژئوشیمیایی ۱۰ نمونه از سنگهای منطقه مورد مطالعه و دو نوع پوسته اقیانوسی عادی و جوان که از اقتباس شده است. عناصر اصلی بر حسب درصد وزنی و عناصر فرعی بر حسب ppm گزارش شده‌اند. Defant and Drummond (1990)

Lithology	Granodiorite						Dyke				Oceanic crust	
Sample number	F	K-27	K-44	K-50	Z-R-2	Z-R-73	Z-R-7	Z-R-27	K-7	K-47	Normal	Young
<b>SiO<sub>2</sub></b>	67.4	66.0	66.4	66.6	69.1	64.4	55.6	66.1	53.2	49.1	49	67.6
<b>Al<sub>2</sub>O<sub>3</sub></b>	15.95	16.20	16.30	16.20	15.50	16.65	15.72	16.25	14.95	17.15	18.90	17.20
<b>Fe<sub>2</sub>O<sub>3</sub></b>	3.04	3.51	3.28	3.34	2.63	3.82	6.89	3.56	7.28	8.17	9.80	2.30
<b>CaO</b>	3.37	3.77	3.62	3.66	2.73	4.12	6.66	3.82	7.40	8.83	10.7	4.3
<b>MgO</b>	1.52	1.65	1.60	1.50	1.00	2.02	4.72	1.67	6.90	5.19	5.8	1
<b>Na<sub>2</sub>O</b>	4.28	4.16	4.54	4.37	4.08	4.37	3.61	4.18	3.35	3.69	3.4	4.7
<b>K<sub>2</sub>O</b>	2.94	2.74	2.59	2.77	3.3	2.74	3.31	2.62	2.21	3.32	1	1.3
<b>TiO<sub>2</sub></b>	0.44	0.57	0.51	0.52	0.42	0.56	1.12	0.55	1.08	1.35	0.9	0.3
<b>MnO</b>	0.06	0.06	0.06	0.06	0.05	0.07	0.11	0.06	0.12	0.12	0.19	0.07
<b>P<sub>2</sub>O<sub>5</sub></b>	0.15	0.19	0.15	0.18	0.14	0.21	0.54	0.18	0.38	0.76	0.22	0.11
<b>SrO</b>	0.06	0.06	0.05	0.06	0.05	0.07	0.09	0.06	0.08	0.15		
<b>LOI</b>	0.63	0.78	0.73	0.66	0.87	0.72	1.47	0.77	1.67	1.8	n.r	0.9
<b>Total</b>	100	99.8	99.9	100	100	99.9	100	99.9	98.8	99.9	99.8	100
<b>Ba</b>	901	755	601	731	842	1060	1440	727	1105	1935		
<b>Ce</b>	62.2	64.7	52.5	49.2	65.4	69.8	92	63.3	68.8	118.5		
<b>Co</b>	59.7	71.5	59.5	58.5	76.3	60.4	37.9	90.9	48.4	48.8		
<b>Cr</b>	30	30	30	30	10	40	150	30	330	80		
<b>Cs</b>	3.4	3.1	5.2	4.7	4.5	3.4	3.8	3.3	1.4	2.1		
<b>Cu</b>	7	6	5	10	5	13	33	5	90	54		
<b>Dy</b>	2.1	2.6	2.2	2	1.8	2.3	3.6	1.9	3.3	4.6		
<b>Er</b>	1.1	1.3	1.2	1.1	0.8	1.2	1.9	1.1	1.7	2.4		
<b>Eu</b>	0.9	1.1	0.9	0.9	0.9	1	1.6	0.9	1.4	2.3		
<b>Ga</b>	18	19	21	20	19	19	18	19	19	21		
<b>Gd</b>	3.5	3.9	3.2	3.2	3.3	3.8	5.7	3.2	4.8	7.7		
<b>Hf</b>	4	4	5	4	4	4	4	4	4	5		
<b>Ho</b>	0.4	0.5	0.4	0.4	0.3	0.4	0.7	0.3	0.6	0.9		
<b>La</b>	35.1	35.1	27.5	25.3	36.2	39.1	52.4	36	37.3	62.9		
<b>Lu</b>	0.1	0.1	0.1	0.1	0.1	0.1	0.2	0.1	0.2	0.3		
<b>Nb</b>	10	13	12	11	12	11	19	11	15	23		
<b>Nd</b>	21.5	24.3	19.6	19	22.5	24.1	34	21.3	27	48.4		
<b>Ni</b>	18	14	16	13	7	24	46	15	92	51		
<b>Pb</b>	17	19	18	20	21	19	7	18	6	13		
<b>Pr</b>	6.1	6.6	5.5	5.1	6.5	6.8	9.2	6.1	7.3	12.7		
<b>Rb</b>	95.9	100	111.5	101	127.5	90.8	93.5	92.9	52.4	95		
<b>Sm</b>	3.6	4.3	3.7	3.5	3.7	4	6	3.5	5.1	8.8		
<b>Sn</b>	2	2	2	2	2	1	2	2	1	2		
<b>Sr</b>	527	571	472	527	442	641	804	547	696	1385		
<b>Ta</b>	0.9	1.1	1	1	1.1	0.9	1.2	1	0.9	1.2		
<b>Tb</b>	0.4	0.5	0.4	0.4	0.3	0.4	0.7	0.4	0.6	0.9		
<b>Th</b>	16	14	14	13	15	13	14	14	9	14		
<b>Tm</b>	0.1	0.1	0.1	0.1	0.1	0.1	0.2	0.1	0.2	0.3		
<b>U</b>	2.7	1.8	2.7	2.4	2.2	2.4	4.2	1.8	2.4	3.3		
<b>V</b>	57	70	63	62	44	75	178	68	189	274		
<b>W</b>	493	576	478	457	650	485	142	736	156	168		
<b>Y</b>	12	14.8	12.8	11.8	10.1	13.4	20.5	11.6	18.2	26.1		
<b>Yb</b>	1	1.2	1	1	0.8	1	1.6	1	1.5	2		
<b>Zn</b>	56	67	68	65	58	65	55	65	74	88		
<b>Zr</b>	140.5	153	164	150.5	145.5	160	164	160	143	186		

**کتابنگاری**

- افتخارنژاد، ج.، ۱۳۵۲- مطالبی چند درباره تشکیل حوضه رسوی فیلیش در خاور ایران و توجیه آن با تئوری تکتونیک صفحه‌ای. ضمیمه گزارش شماره ۲۲، سازمان زمین‌شناسی کشور و اکتشافات معدنی کشور.
- حسینی، م. ر.، ۱۳۸۱- پترولولوژی و ژئوشیمی گراینیتهای جنوب باختر زاهدان. رساله کارشناسی ارشد، دانشگاه تهران، ۲۹۰ صفحه.
- کشتگر، ش.، ۱۳۸۳- پترولولوژی، ژئوشیمی و تحلیل ساختاری گراینیتهای زرگلی. رساله کارشناسی ارشد، دانشگاه تهران، ۱۶۰ صفحه.

**References**

- Atherton, M. P., Ghani, A. A., 2002- Slab breakoff: a model for Caledonian, Late Granite syncollisional magmatism in the orthotectonic (metamorphic) zone of Scotland and Donegal, Ireland. *Lithos*, 62, 65–85.
- Atherton, M. P., Petford, N., 1993- Generation of sodium-rich magmas from newly underplated basaltic crust. *Nature*, 362, 144–146.
- Behruzi, A., 1993- Geological map of Zahedan 1:250000 survey sheet. Geological survey of Iran.
- Berberian, M., 1983- Geological map of Iran at 1/100,000. Sheet 8148 Zahedan, Geological survey of Iran, Teheran.
- Bitencourt, M. F., Nardi, L. V. S., 2004 - The role of xenoliths and flow segregation in the genesis and evolution of the Paleoproterozoic Itapema Granite, a crustally derived magma of shoshonitic affinity from southern Brazil. *Lithos*. 73, 1–19.
- Bowden, P., Bachelor, R. A., Chapple, B. W., Didier, J., Lameyer, J., 1984 - petrological, geological and source criteria for the classification of granitic rocks: a discussion. *Earrth. Planet. Inter.*, 35, 1–11.
- Camp, V. E., Griffis, R. J., 1982- Character, genesis and tectonic setting of igneous rocks in the Sistan suture zone, Eastern Iran. *Lithos*, 15(3), 221–239.
- Chappell, B. W., 1999- Aluminium saturation in I and S-type granites and the characterization of fractionated haplogranites. *Lithos*, 46, 535–551.
- Chappell, B. W., White, A. J. R., 1992- I- and S-type granites in the Lachlan Fold Belt. *Trans. R. Soc. Edinb. Earth Sci.*, 83, 1–26.
- Christopher, D. W., Ian, L. M., Alan, P. M. V., 1997- The generation of sodic granite magmas, western Palmer Land, Antarctic Peninsula. *Contrib Mineral Petrol*, 128, 81–96.
- Defant, M. J., Drummond, M. S., 1990- A model for trondhjemite ± tonalite ± dacite genesis and crustal growth via slab melting: Archean to modern comparisons. *J Geophys Res*, 95, 21503–21521.
- Dokuz, A., Tanyolu, E., Genc, S., 2005- A mantle and a lower crust derived bimodal suite in the Yusufeli (Artvin) area, NE Turkey: trace element and REE evidence for subduction-related rift origin of Early Jurassic Demirkent intrusive complex. *Int J Earth Sci (Geol Rundsch)*.
- Drummond, M. S., Defant, M. J., 1990- A model for trondhjemite-tonalite-dactite genesis and crustal growth via slab melting: Archean to modern composition. *Journal of Geophysical Research*, 95, 21,503–21,521.
- Glenn, A. G., 2004 - The influence of melt structure on trace element partitioning near the peridotite solidus. *Contrib Mineral Petrol*, 147: 511–527



- Harris, N. B. W., Pearce, J. A., Tindle, A. G., 1986- Geochemical characteristics of collision zone magmatism. Collision tectonic, Geological society of American Bulltein, special pub. No. 19, 67–81.
- Irvine, T. N., Baragar, W. R. A., 1971- A guide chemical classification of the common volcanic rock. Canada, J. Earth Sci., 8, 523–548.
- Kamber, B. S., Ewart A., Collerson, K. D., Bruce, M. C., McDonald, G. D., 2002- Fluid-mobile trace element constraints on the role of slab melting and implications for Archaean crustal growth models. Contrib Mineral Petrol, 144, 38–56.
- Maniar, P. D., Piccoli, M., 1989- Teconic discrimination of granitoids. Geological society of American Bulltein, No.110, 635–642.
- Martin, H., 1986- Effect of steeper Archean geothermal gradient on geochemistry of subduction-zone magmas. Geology 14:753–756
- Martin, H., 1987- Petrogenesis of Archean trondhjemites, tonalites, and granodiorites from eastern Finland: major and trace element geochemistry. Journal Petrology, 28, 921–953.
- Martin, H., 1999- Adakitic magmas: modern analogues of Archaean granitoids. Lithos, 46, 411–429.
- Mc Call, G. J. H., 1997- The geotectonic history of the Makran and adjacent areas of southern Iran. Asian Earth science, 15/16, 517–531.
- Pearce, J. A., 1982- Trace element chacteristics of lavas from destructive plate boundaries. In: Thorpe R.S. (ed.), Andesites. Wiley, Chichester, 525–548.
- Pearce, J. A., 1996- Sources and settings of granitic rocks. Episodes19, 120–125.
- Philpotts, A. R., 1990- Principles of igneous and metamorphic petrology. Prentice Hall, New Jersey, p. 498.
- Rapp, R. P., Watson, E. B., 1995- Dehydration melting of metabasalt at 8-32 kbar: implications for continental growth and crust mantle recycling. Journal Petrology, 36, 891–932.
- Rapp, R. P., Watson, E. B., Miller, C. F., 1991- Partial melting of amphibolite/eclogite and the origin of Archean trondhjemites and tonalites. Precambrian Res, 51, 1–25.
- Rollinson, H., 1998- Using geochemical data: Evaluation, presentation, interpretation. Longman, Singapore, p. 352.
- Rushmer, T., 1991- Partial melting of two amphibolites: contrasting experimental results under-absent conditions. Contrib Mineral Petrol, 107, 41–59.
- Sadeghian, M., Bouchez, J. L., Ne'de'lec, A., Siqueira, R., Valizadeh, M. V., 2005- The granite pluton of Zahedan (SE Iran): a petrological and magnetic fabric study of a syntectonic sill emplaced in a transtensional setting. Journal of Asian Earth Sciences, 25, 301–327
- Sen, C., Dunn, T., 1994- Dehydration melting of basaltic composition amphibolite at 15 and 3 GPa: implications for the origin of adakites. Contrib Mineral Petrol, 117, 394–409.
- Stewart, M. L., Pearce, T. H., 2004 - Sive-textured plagioclase in dacite magma: Interference imaging results. American Mineralogy, 89, 348–351.
- Stocklin, J., 1968 - Structural history and tectonics of Iran: a review. American Association of Petroleum Geologists Bulletin, 52, 1229–1258.
- Streckeisen, A. L., Lemaitre, R. W., 1979- “A chemical approximation to the modal QAPF classification of the igneous rocks,” Neuse Jahrbuch fur Mineralogie Ab-handlungen, 136, 169–206.

- Sun, S. S., Mc Donough, W. F., 1989- Chemical and isotopic systematics of oceanic basalts: implications for mantle composition and processes. In: Saunders, A.D., Norry, M.J. (Eds.), Magmatism in the Ocean Basins. Geological Society Special Publication, vol. 42, pp. 313–345.
- Thompson, A. B., 1982- Dehydration melting of pelitic rocks and the generation of H<sub>2</sub>O-undersaturated granitic liquids. American Journal of Science, 282, 1567–1595.
- Tirrul, R., Bell, I. R., Griffis, R. J., Camp, V. E., 1983- The Sistan suture zone of eastern Iran. Geological Society America Bulletin, 94, 134–150.
- Wang, Q., McDermott, F., Xu, J. F., Bellon, H. & Zhu, Y. T., 2005- Cenozoic K-rich adakitic volcanics in the Hohxil area, northern Tibet: lower crustal melting in an intracontinental setting. Geology 33, 465–468.
- Wang, Q., Wyman, D. A., Xu J. F., Zhao, Z. H., Jian, P., Xiong, X. L., Bao, Z. W., Li, C. F., Bai, Z. H., 2006a- Petrogenesis of Cretaceous adakitic and shoshonitic igneous rocks in the Luzong area, Anhui Province (eastern China): Implications for geodynamics and Cu–Au mineralization. Lithos, 1-26.
- Wang, Q., Xu, J. F., Jian, P., Bao, Z. W., Zhao, Z. H., Li, C. F., Xiong, X. L., Ma, J. L., 2006b- Petrogenesis of adakitic porphyries in an extensional tectonic setting, Dexing, South China: implications for the genesis of porphyry copper mineralization. Journal of Petrology 47, 119–144.